

**KLASIFIKASI PENYAKIT TUBERKULOSIS BERDASARKAN CITRA  
X-RAY MENGGUNAKAN EKSTRAKSI FITUR *GRAY LEVEL  
CO-OCCURENCE MATRIX (GLCM) DAN EXTREME LEARNING  
MACHINE (ELM)***

**SKRIPSI**



**UIN SUNAN AMPEL  
S U R A B A Y A**

Disusun Oleh  
**ELEN RISWANA SAFILA PUTRI**  
**H92219048**

**PROGRAM STUDI MATEMATIKA  
FAKULTAS SAINS DAN TEKNOLOGI  
UNIVERSITAS ISLAM NEGERI SUNAN AMPEL  
SURABAYA**

**2023**

## PERNYATAAN KEASLIAN

Saya yang bertanda tangan di bawah ini,

Nama : ELEN RISWANA SAFILA PUTRI

NIM : H92219048

Program Studi : Matematika

Angkatan : 2019

Menyatakan bahwa saya tidak melakukan plagiat dalam penulisan skripsi saya yang berjudul "KLASIFIKASI PENYAKIT TUBERKULOSIS BERDASARKAN CITRA X-RAY MENGGUNAKAN EKSTRAKSI FITUR *GRAY LEVEL CO-OCCURENCE MATRIX* (GLCM) DAN *EXTREME LEARNING MACHINE* (ELM)". Apabila suatu saat nanti terbukti saya melakukan tindakan plagiat, maka saya bersedia menerima sanksi yang telah ditetapkan.

Demikian pernyataan keaslian ini saya buat dengan sebenar-benarnya.

Surabaya, 13 Januari 2023

Yang menyatakan,

A handwritten signature in black ink is written over a yellow 10,000 Indonesian postage stamp. The stamp features the Garuda Pancasila emblem and the text '10000', 'METERAI TEMPEL', and the serial number 'DE64BAKX092396162'.

ELEN RISWANA SAFILA PUTRI  
NIM. H92219048

## LEMBAR PERSETUJUAN PEMBIMBING

Skripsi oleh

Nama : ELEN RISWANA SAFILA PUTRI  
NIM : H92219048  
Judul skripsi : KLASIFIKASI PENYAKIT TUBERKULOSIS  
BERDASARKAN CITRA X-RAY MENGGUNAKAN  
EKSTRAKSI FITUR *GRAY LEVEL CO-OCCURENCE*  
*MATRIX* (GLCM) DAN *EXTREME LEARNING*  
*MACHINE* (ELM)

telah diperiksa dan disetujui untuk diujikan.

Pembimbing I



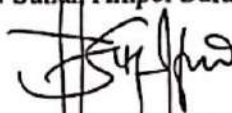
Dian Candra Rini Novitasari, M.Kom  
NIP. 198511242014032001

Pembimbing II



Lutfi Hakim, M.Ag  
NIP. 197312252006041001

Mengetahui,  
Ketua Program Studi Matematika  
UIN Sunan Ampel Surabaya



Yuniar Farida, M.T  
NIP. 197905272014032002

## PENGESAHAN TIM PENGUJI SKRIPSI

Skripsi oleh

Nama : ELEN RISWANA SAFILA PUTRI  
NIM : H92219048  
Judul Skripsi : **KLASIFIKASI PENYAKIT TUBERKULOSIS BERDASARKAN CITRA X-RAY MENGGUNAKAN EKSTRAKSI FITUR GRAY LEVEL CO-OCCURENCE MATRIX (GLCM) DAN EXTREME LEARNING MACHINE (ELM)**

Telah dipertahankan di depan Tim Penguji  
pada tanggal 26 Januari 2023

Mengesahkan,  
Tim Penguji

Penguji I



Wika Dianita Utami, M.Sc  
NIP. 199206102018012003

Penguji II



Hani Khaulasari, M.Si  
NIP. 199102092020122011

Penguji III



Dian Candra Rini Novitasari, M.Kom  
NIP. 198511242014032001

Penguji IV



Lutfi Hakim, M.Ag  
NIP. 197312252006041001



Mengetahui,  
Dekan Fakultas Sains dan Teknologi  
Sunan Ampel Surabaya  
  
Saepul Hamdani, M.Pd  
NIP. 196507312000031002

LEMBAR PERNYATAAN PERSETUJUAN PUBLIKASI  
KARYA ILMIAH UNTUK KEPENTINGAN AKADEMIS

Sebagai sivitas akademika UIN Sunan Ampel Surabaya, yang bertanda tangan di bawah ini, saya:

Nama : ELEN RISWANA SATILA PUTRI  
NIM : H92219048  
Fakultas/Jurusan : SAINTEK / MATEMATIKA  
E-mail address : elenriswana66@gmail.com

Demi pengembangan ilmu pengetahuan, menyetujui untuk memberikan kepada Perpustakaan UIN Sunan Ampel Surabaya, Hak Bebas Royalti Non-Eksklusif atas karya ilmiah :

Skripsi     Tesis     Disertasi     Lain-lain (.....)  
yang berjudul :

KLASIFIKASI PENYAKIT TUBERKULOSIS BERDASARKAN CITRA X-RAY MENGGUNAKAN  
EKSTRAKSI FITUR GRAY LEVEL CO-OCCURENCE MATRIX (GLCM) DAN EXTREME LEARNING  
MACHINE (ELM)

beserta perangkat yang diperlukan (bila ada). Dengan Hak Bebas Royalti Non-Eksklusif ini Perpustakaan UIN Sunan Ampel Surabaya berhak menyimpan, mengalih-media/format-kan, mengelolanya dalam bentuk pangkalan data (database), mendistribusikannya, dan menampilkan/mempublikasikannya di Internet atau media lain secara *fulltext* untuk kepentingan akademis tanpa perlu meminta ijin dari saya selama tetap mencantumkan nama saya sebagai penulis/pencipta dan atau penerbit yang bersangkutan.

Saya bersedia untuk menanggung secara pribadi, tanpa melibatkan pihak Perpustakaan UIN Sunan Ampel Surabaya, segala bentuk tuntutan hukum yang timbul atas pelanggaran Hak Cipta dalam karya ilmiah saya ini.

Demikian pernyataan ini yang saya buat dengan sebenarnya.

Surabaya, 7 Maret 2023

Penulis



( ELEN RISWANA S.P. )  
*nama terang dan tanda tangan*

## ABSTRAK

### KLASIFIKASI PENYAKIT TUBERKULOSIS BERDASARKAN CITRA

#### *X-RAY MENGGUNAKAN EKSTRAKSI FITUR GRAY LEVEL*

#### *CO-OCCURENCE MATRIX (GLCM) DAN EXTREME LEARNING*

#### *MACHINE (ELM)*

Tuberkulosis (TB) merupakan penyakit menular berbahaya yang disebabkan oleh bakteri *mycobacterium tuberculosis*. Penyakit tersebut menjadi pembunuh menular nomor dua setelah *coronavirus* 2019 (COVID-19). Di seluruh dunia, TB telah menginfeksi 1,7 - 2 miliar orang dengan rata-rata 1,2 - 1,5 juta kematian per tahun. Di Indonesia, TB menempati urutan kedua sebagai penyakit yang paling banyak diderita. Tingginya kasus tersebut menjadikan TB sebagai masalah kesehatan masyarakat yang utama di seluruh dunia. Oleh karena itu, perlu adanya upaya pengendalian kasus TB salah satunya dengan deteksi dini. Deteksi tersebut dapat dilakukan menggunakan bantuan *Computer Aided Detection (CAD)* salah satunya *Extreme Learning Machine (ELM)*. ELM adalah bagian dari jaringan saraf tiruan umpan maju (*feedforward*). ELM memiliki kecepatan komputasi yang sangat singkat dan akurat dalam melakukan pembelajaran. Penelitian ini menggunakan 662 data yang terdiri dari dua kelas. Kelas pertama yaitu *x-ray* paru-paru normal sebanyak 326 data dan kelas kedua yaitu *x-ray* tuberkulosis sebanyak 336 data. Hasil klasifikasi menggunakan ekstraksi fitur GLCM dan klasifikasi menggunakan ELM menunjukkan akurasi terbaik mencapai 100% dengan uji coba orientasi sudut  $0^\circ$  dan *node hidden* 50. Hasil dari sistem klasifikasi ini diharapkan dapat membantu tenaga medis untuk mengambil keputusan pendeteksian penderita TB.

**Kata kunci:** Citra, Tuberkulosis, GLCM, Klasifikasi, *Extreme Learning Machine*

## ABSTRACT

### CLASSIFICATION OF TUBERCULOSIS DISEASE BASED ON X-RAY IMAGES USING *GRAY LEVEL CO-OCCURENCE MATRIX* (GLCM) FEATURE EXTRACTION AND *EXTREME LEARNING MACHINE* (ELM)

Tuberculosis (TB) is a contagious infectious disease caused by the bacterium *mycobacterium tuberculosis*. The disease is the second infectious killer after *coronavirus* 2019 (COVID-19). Worldwide, TB has infected 1.7 - 2 billion people with an average of 1.2 - 1.5 million deaths per year. In Indonesia, TB ranks second as the most common disease. This high number of cases makes TB a major public problem throughout the world. Therefore, it is necessary to control TB cases, one of which is early detection. This detection can be done using the help of *Computer Aided Detection (CAD)*, one of which is *Extreme Learning Machine (ELM)*. ELM is part of a feed-forward (*feedforward*) neural network. ELM has a very short computational speed and is accurate in learning. This study uses 662 data consisting of two classes. The first class is *x-ray* normal lungs with 326 data and the second class is *x-ray* tuberculosis with 336 data. The results of classification using GLCM feature extraction and classification using ELM show the best accuracy reaching 100% by testing the orientation of the angle 0° and *node hidden* 50. The results of this classification system are expected to help medical staff to make detection decisions TB patient.

**Keywords:** Image, Tuberculosis, GLCM, Classification, Extreme Learning Machine

# DAFTAR ISI

<b>HALAMAN JUDUL</b>	i
<b>HALAMAN PERNYATAAN KEASLIAN</b>	ii
<b>LEMBAR PERSETUJUAN PEMBIMBING</b>	iii
<b>PENGESAHAN TIM PENGUJI SKRIPSI</b>	iv
<b>LEMBAR PERSETUJUAN PUBLIKASI</b>	v
<b>ABSTRAK</b>	vi
<b>ABSTRACT</b>	vii
<b>DAFTAR ISI</b>	1
<b>DAFTAR TABEL</b>	3
<b>DAFTAR GAMBAR</b>	4
<b>I PENDAHULUAN</b>	6
1.1. Latar Belakang Masalah	6
1.2. Rumusan Masalah	12
1.3. Tujuan Penelitian	12
1.4. Manfaat Penelitian	12
1.5. Batasan Masalah	13
1.6. Sistematika Penulisan	14
<b>II TINJAUAN PUSTAKA</b>	15
2.1. Penyakit Menular dalam Perspektif Islam	15
2.2. Tuberkulosis (TB)	19
2.3. Citra Digital	23
2.3.1. Citra berwarna ( <i>color image</i> )	24
2.3.2. Citra keabuan ( <i>grayscale image</i> )	25
2.3.3. Citra biner ( <i>binary image</i> )	26
2.4. Pengolahan citra digital	27
2.4.1. Tahap <i>preprocessing</i>	28
2.4.2. Analisis citra	28



## DAFTAR TABEL

2.1 <i>Confusion Matrix</i> pada Data Dua Kelas . . . . .	48
4.1 Konversi Tingkat Keabuan . . . . .	65
4.2 Matriks <i>framework</i> $8 \times 8$ . . . . .	66
4.3 Fitur GLCM pada Sudut $0^\circ$ . . . . .	74
4.4 Fitur GLCM pada Sudut $45^\circ$ . . . . .	75
4.5 Fitur GLCM pada Sudut $90^\circ$ . . . . .	75
4.6 Fitur GLCM pada Sudut $135^\circ$ . . . . .	75
4.7 Sampel Data <i>training</i> . . . . .	84
4.8 Sampel Data <i>testing</i> . . . . .	84
4.9 Hasil Klasifikasi TB menggunakan GLCM $0^\circ$ . . . . .	93
4.10 Hasil Klasifikasi TB menggunakan GLCM $45^\circ$ . . . . .	94
4.11 Hasil Klasifikasi TB menggunakan GLCM $90^\circ$ . . . . .	95
4.12 Hasil Klasifikasi TB menggunakan GLCM $135^\circ$ . . . . .	97

UIN SUNAN AMPEL  
S U R A B A Y A





## BAB I

### PENDAHULUAN

#### 1.1. Latar Belakang Masalah

Beragam organisme seperti bakteri, virus, dan jamur hidup di dalam tubuh manusia. Beberapa organisme tersebut umumnya tidak berbahaya. Dalam kondisi tertentu, organisme dapat menyebabkan penyakit yang menyerang manusia. Penyakit ini menjadikan orang yang terinfeksi menjadi sakit. Kemudian, penyakit tersebut dapat ditularkan ke orang yang sehat dan menyebabkan penyakit menular. Oleh karena itu, selayaknya orang yang sehat tidak sebaiknya bercampur dengan orang yang sakit. Hal tersebut berkaitan dengan beberapa hadis dimana Nabi *shallallahu 'alaihi wasallam* bersabda

UIN SUN, لا يُورَدُ مُمْرِضٌ عَلَى مُصِحِّحٍ  
S U R A B A Y A

artinya : orang yang sakit tidak bisa menularkan penyakit pada orang yang sehat.

(HR. Bukhari no. 5771, Muslim no. 2221).

لا عَدْوَى و لا طَيْرَةَ و لا هَامَةَ و لا صَفَرَ ، و فِرٌّ مِنَ الْمَجْذُومِ كَمَا  
تَفِرُّ مِنَ الْأَسَدِ

artinya : tidak ada penyakit menular, tidak ada dampak dari *thiyarah*, tidak ada kesialan karena burung hamma, tidak ada kesialan pada Bulan Shafar. Dan larilah dari penyakit kusta sebagaimana engkau lari dari singa. (HR. Bukhari no.5707).

Dari kedua hadis tersebut dapat disimpulkan bahwa penyakit tidak dapat menular



*coronavirus* 2019 (COVID-19) (Migliori et al., 2022). Di seluruh dunia, TB telah menginfeksi 1,7 - 2 miliar orang dengan rata-rata 1,2 - 1,5 juta kematian per tahun (Maison, 2022). Menurut *World Health Organization* (WHO), di tahun 2020 lebih dari 10 juta orang menderita TB dengan 5,6 juta laki-laki, 3,3 juta perempuan, dan 1,1 juta anak-anak. Selain itu, sebanyak 30 negara menyumbangkan kasus TB baru sebanyak 86% salah satunya Indonesia. Di Indonesia, TB menempati urutan kedua sebagai penyakit yang paling banyak diderita (Noviyani et al., 2021). Tingginya kasus tersebut menjadikan TB sebagai masalah kesehatan masyarakat utama yang perlu ditanganani dengan cepat.

Untuk mengurangi peningkatan jumlah kasus dan mortalitas akibat TB, perlu adanya upaya pencegahan seperti deteksi dan diagnosis dini. Secara sederhana, TB dapat didiagnosis melalui kultur. Kultur memanfaatkan media *Lowenstein Jensen* untuk melakukan deteksi dengan rata-rata waktu deteksi yang cukup lama yakni 3-4 minggu (Gill et al., 2022; Huang et al., 2022). Kultur menghasilkan sensitivitas yang berkisar 98,1 hingga 98,6%. Namun, diagnosis menggunakan kultur memiliki biaya yang mahal. Selain itu, kultur belum banyak ditemukan di laboratorium dikarenakan penggunaan sumber daya yang sering dibatasi. Metode lain yang digunakan untuk mendeteksi TB adalah *sputum smear microscopy*. Metode *sputum smear microscopy* menggunakan Sampel dahak BTA yang diberi pewarna Ziehl Neelsen (ZN) . Metode *sputum smear microscopy* adalah metode yang paling mudah dan memiliki waktu pemeriksaan yang relatif lebih cepat dibanding kultur (Nsubuga et al., 2022). Namun, keakuratan kinerja metode ini hanya berkisar 50% dengan sensitivitas 30 – 89% (Shuaib et al., 2018). Rendahnya keakuratan *sputum smear microscopy* umumnya dikarenakan kesalahan laboratorium seperti kesalahan analitik atau campuran sampel dan

ketidakmampuan mikroskopis dalam membedakan organisme TB dan non TB. Selain itu, metode *sputum smear microscopy* kurang sensitif pada kelompok berisiko tinggi. Berkembangnya zaman, teknik diagnosis dan klasifikasi TB otomatis digunakan untuk menangani keterbatasan dari metode yang telah ada. Salah satu metode yang diusulkan adalah penggunaan *Computer Aided Detection (CAD)*. Sistem CAD memiliki kelebihan berupa sensitivitas terhadap pendeteksian suatu lesi penyakit (Henriksen et al., 2019). Sistem tersebut terdiri tiga tahapan yakni *preprocessing*, ekstraksi fitur dan klasifikasi (P. and C., 2019).

Tahap *preprocessing* merupakan tahap awal yang ditujukan untuk pengoptimalan citra. Di tahap ini, dilakukan beberapa upaya untuk meningkatkan kualitas citra seperti penghilangan *noise*, pembersihan data, dan transformasi data. Perbaikan kualitas citra tersebut menyesuaikan dengan kebutuhan citra itu sendiri. Pada tahap lanjut yakni ekstraksi fitur dilakukan pengambilan informasi citra yang serupa sebagai suatu ciri fitur untuk dijadikan objek klasifikasi. Salah satu metode ekstraksi fitur yang sering digunakan adalah *Gray Level Co-occurrence Matrix (GLCM)* (Alazawi et al., 2019). GLCM menggunakan fitur-fitur tertentu seperti kontras, entropi dan korelasi yang mewakili piksel pada citra. Ekstraksi fitur GLCM telah banyak digunakan oleh penelitian. Penelitian (Ossai and Wickramasinghe, 2022) yang melakukan analisis terhadap diagnosis penebalan retina atau *Edema Makula (MAOE)* menggunakan GLCM dan *Extra Tree Classifier (ETC)* menunjukkan akurasi terbaik sebesar 95,02%. Studi ini menunjukkan bahwa GLCM mampu mengkarakterisasi ketajaman risiko dan kerentanan mata terhadap MAOE untuk membantu optimalisasi klasifikasi. Penelitian lain, menggunakan SVM untuk membandingkan ekstraksi fitur GLCM, *Local Binary Gray Level Cooccurrence Matrix (LBGLCM)*, *Local Binary Pattern*

(LBP), dan *Gray Level Run Length Matrix* (GLRLM) pada citra *histopathological* menunjukkan bahwa GLCM sangat akurat dalam mendeskripsikan fitur. Hal tersebut ditunjukkan oleh nilai klasifikasi menggunakan ekstraksi fitur GLCM yang didapatkan sebesar 92,8% yang lebih unggul dibanding metode ekstraksi fitur LBP, LBGLCM, dan GLRLM (Ozturk and Akdemir, 2018). Pada penelitian lain, ekstraksi fitur GLCM digunakan untuk mendeteksi COVID-19 menggunakan klasifikasi *Latent Dynamic CRF* (LDCRF). Metode deteksi COVID-19 tersebut menghasilkan akurasi yang tinggi mencapai 95,88% (Bakheet and Al-Hamadi, 2021).

Pada tahap klasifikasi dilakukan untuk proses deteksi data citra. Klasifikasi tersebut dilakukan dengan mengelompokkan data citra berdasarkan persamaannya. Banyak peneliti menggunakan *Artificial Intelligence* untuk menyelesaikan proses klasifikasi. Salah satu metode tersebut adalah *Extreme Learning Machine* (ELM). ELM adalah bagian dari jaringan saraf tiruan umpan maju (*feedforward*). ELM menerapkan *Single Hidden Layer Feedforward Neural Networks* (SLFNs) yakni terdiri dari satu lapisan tersembunyi. Berdasarkan penelitian (Gan et al., 2021) yang membandingkan ELM, *backpropagation* (BP) dan *Genetic Algorithm based on BP* (GA-BP) pada elektrodeposisi film nano-perak menunjukkan bahwa ELM memiliki tingkat yang efisien dan waktu komputasi yang sangat rendah dibanding BP dan GA-BP. Hal tersebut dikarenakan algoritma ELM memiliki kecepatan yang sangat singkat dan akurat dalam melakukan pembelajaran. Adapun penelitian yang mendeteksi *retinoblastoma* menggunakan *Extreme Learning Machine* (ELM) menghasilkan akurasi terbaik sebesar 92% (Jia et al., 2022). Penelitian lain, melakukan deteksi penyakit demam berdarah menunjukkan bahwa ELM dapat menghasilkan kinerja cepat daripada teknik pembelajaran hierarkis yang ada.

Penelitian ini juga mampu memberikan prediksi yang akurat dengan akurasi mencapai 96,94% (Nsubuga et al., 2022). Selain itu, (Rath et al., 2022) membandingkan ELM dengan SVM untuk memprediksi keandalan perangkat lunak. Penelitian ini menunjukkan bahwa model pengklasifikasi ELM adalah yang paling akurat daripada SVM dengan akurasi mencapai 84,61%.

Pada tahap klasifikasi metode ELM, ditambahkan sebuah fungsi aktivasi untuk membantu pengoptimalan hasil klasifikasi. Penambahan fungsi aktivasi tersebut juga bertujuan untuk menentukan nilai output berdasarkan input yang dimasukkan dalam range tertentu. Salah satu fungsi aktivasi yang memiliki keunggulan dalam membantu pengoptimalan ELM adalah fungsi aktivasi sigmoid. Penelitian yang dilakukan oleh (Shajia et al., 2022) melakukan analisis pengaruh pengklasifikasi ELM terhadap gambar MRI penyakit Alzheimer's. Penelitian ini menggunakan fungsi aktivasi sigmoid dan mampu menghasilkan akurasi dan sensitivitas maksimum masing-masing 97% dan 94%. Penelitian lain terkait kualitas udara, membandingkan fungsi aktivasi sigmoid, sin, hardlim, dan tribas terhadap pengaruh performa ELM. Hasil penelitian yang diperoleh adalah fungsi aktivasi sigmoid sebagai fungsi aktivasi yang paling baik daripada fungsi aktivasi lainnya. Hasil rata-rata menunjukkan bahwa sigmoid memberikan kesalahan yang lebih kecil dengan nilai 0,03 pada data *training* dan 0,03 pada data *testing* (Ismail et al., 2019).

Berdasarkan beberapa penelitian yang ada, dapat ditunjukkan bahwa penelitian yang mengadopsi penggunaan sistem CAD khususnya ELM menunjukkan kinerja yang baik dengan tingkat akurasi yang tinggi selama beberapa tahun terakhir. Berdasarkan paparan tersebut, maka penelitian ini bertujuan untuk mengklasifikasi penyakit tuberkulosis berdasarkan citra *x-ray*

menggunakan metode ekstraksi fitur GLCM dan klasifikasi menggunakan ELM. Adanya penelitian ini diharapkan mampu melakukan klasifikasi penyakit tuberkulosis sehingga hasil dari klasifikasi ini dapat digunakan tenaga medis untuk membantuk mendeteksi pasien penderita tuberkulosis.

## 1.2. Rumusan Masalah

Berdasarkan uraian yang ada, dicetuskan rumusan masalah sebagai berikut:

1. Bagaimana hasil ekstraksi fitur citra *x-ray* tuberkulosis menggunakan *Gray Level Co-occurrence Matrix* (GLCM)?
2. Bagaimana hasil klasifikasi citra *x-ray* tuberkulosis menggunakan metode *Extreme Learning Machine* (ELM)?

## 1.3. Tujuan Penelitian

Berdasarkan rumusan masalah di atas, diperoleh tujuan dari penelitian ini adalah:

1. Mengetahui hasil ekstraksi fitur dari citra *x-ray* tuberkulosis menggunakan *Gray Level Co-occurrence Matrix* (GLCM).
2. Mengetahui hasil klasifikasi citra *x-ray* tuberkulosis menggunakan metode *Extreme Learning Machine* (ELM).

## 1.4. Manfaat Penelitian

Penelitian ini memiliki manfaat sebagai berikut:

1. Manfaat Teoritis

Secara teori, penelitian ini dapat menambah wawasan mengenai klasifikasi

citra *x-ray* tuberkulosis menggunakan metode ELM khususnya di bidang kesehatan dan ilmu matematika.

## 2. Manfaat Praktis

- (a) Bagi penulis, penelitian ini dapat mengimplementasikan ilmu yang telah diperoleh.
- (b) Bagi tenaga medis, penelitian ini dapat memberikan alternatif dalam mendeteksi tuberkulosis melalui pengklasifikasian citra *x-ray* tuberkulosis menggunakan *Artificial Intelligence* (AI). Selain itu, dapat membantu dalam pengambilan keputusan penanganan yang tepat terhadap hasil deteksi, sehingga dapat mengendalikan jumlah kasus yang disebabkan oleh tuberkulosis.
- (c) Bagi Universitas, penelitian ini mampu menambah referensi literatur yang ada di bidang ilmu matematika.

### 1.5. Batasan Masalah

Dari permasalahan yang sudah diuraikan, diperoleh beberapa batasan masalah pada penelitian ini di antaranya sebagai berikut:

1. Klasifikasi *x-ray* tuberkulosis dalam penelitian ini dibagi dalam dua kelas yaitu kelas normal dan kelas tuberkulosis.
2. Citra input yang digunakan sebagai dataset berupa citra *x-ray* paru-paru normal dan tuberkulosis.
3. Fungsi aktivasi yang digunakan adalah fungsi aktivasi sigmoid.

## 1.6. Sistematika Penulisan

Pada sistematika penelitian ini, isi dari penelitian terdiri dari lima bab yang telah dirangkum, yaitu:

1. BAB I PENDAHULUAN yang terdiri dari latar belakang penelitian, rumusan masalah, tujuan, manfaat penelitian dan sistematika penulisan.
2. BAB II TINJAUAN PUSTAKA yang memaparkan beberapa teori yang mengacu pada penelitian yang sudah ada sebelumnya baik jurnal maupun buku pendukung penelitian. Tinjauan pustaka penelitian ini berisikan tuberkulosis sebagai penyakit menular dalam perspektif Islam, beberapa teori tuberkulosis, metode pada tahapan *pre-processing*, ekstraksi fitur dan tahapan ELM.
3. BAB III METODE PENELITIAN memaparkan jenis penelitian, cara peneliti mendapatkan data, alur mengelola data tersebut hingga rumusan masalah dari penelitian dapat terselesaikan.
4. BAB IV HASIL DAN PEMBAHASAN memaparkan hasil penelitian yang dilakukan untuk membuktikan kebenaran rumusan masalah. Selain itu, pada bab ini dijelaskan proses pada setiap tahapan yang dilakukan serta analisis dari hasil yang diperoleh.
5. BAB V PENUTUP menguraikan kesimpulan penelitian dari hasil yang didapat serta memberikan saran kepada peneliti-peneliti selanjutnya yang akan menggunakan data atau metode pada penelitian ini.

## BAB II

### TINJAUAN PUSTAKA

#### 2.1. Penyakit Menular dalam Perspektif Islam

Penyakit menular telah mempengaruhi setiap bidang kehidupan mulai dari sosial, ekonomi dan agama. Dalam sejarah Islam, penyakit menular tersebut disebut sebagai wabah dan tha'un. Terdapat lima kejadian penyakit menular yang banyak memakan korban yakni

##### 1. *Tha'un Syirawaih*

*Tha'un syirawaih* merupakan wabah pertama yang terjadi pada masa Nabi Muhammad masih hidup. Wabah tersebut terjadi di Kota Madinah dan menjadi wabah pertama dalam sejarah Islam. *Tha'un syirawaih* menjadi pencetus munculnya hadis-hadis yang berbicara mengenai wabah (Efendi et al., 2020).

##### 2. *Tha'un 'amwas*

*Tha'un 'amwas* adalah sebuah wabah yang menimpa negeri Syam. Wabah ini berlangsung saat masa akhir Kekhalifahan Rasyidin. Wabah tersebut dikarenakan munculnya penyakit pes bubo pada abad ke-6. Wabah ini menyebabkan 25 ribu pasukan prajurit Muslim meninggal dunia (Arifin et al., 2021).

##### 3. *Tha'un jarif*

*Tha'un jarif* adalah wabah ketiga yang menyerang Basrah, Irak pada 69 H.







berobat, sebaiknya manusia juga mengurangi aktivitas yang bisa menyebarkan penyakit menular tersebut. Di sisi lain, manusia tetap dituntut untuk berikhtiar dan bersabar hingga penyakit tersebut diangkat oleh-Nya.

## 2.2. Tuberkulosis (TB)

Tuberkulosis (TB) merupakan penyakit menular berbahaya yang disebabkan oleh *Mycobacterium tuberculosis* (MTB) (Highsmith et al., 2019). Penyakit tersebut bisa menyerang segala usia. Penyebaran TB diawali oleh droplet nuclei yang tersebar di udara. Droplet nuclei berasal dari penderita TB aktif yang ditularkan ke individu yang tidak terinfeksi yang dikeluarkan melalui batuk, bersin, atau berbicara. Tetesan droplet masuk melalui saluran pernapasan dan akan terperangkap oleh sel goblet yang bertugas menghalangi masuknya benda asing (Luies and du Preez, 2020). Pada beberapa kasus, tetesan droplet dapat melewati sel dan masuk ke organ yang lebih dalam seperti paru-paru. Selain itu, infeksi dapat mempengaruhi organ lain seperti ginjal, otak, dan tulang belakang. Kemudian, droplet akan menginfeksi dan menghancurkan beberapa enzim sehingga menyebabkan TB (Makeswaran et al., 2022).

Berdasarkan kondisinya, TB terdiri dari dua kondisi yaitu infeksi TB laten (LTBI) dan Penderita TB aktif. LTBI merupakan kondisi respons imun persisten terhadap antigen MTB tanpa disertai gejala klinis TB aktif (Jia et al., 2022). Adapun TB aktif merupakan kondisi respons imun persisten terhadap antigen MTB yang disertai gejala klinis dan berisiko menular. Penderita TB umumnya mengalami gejala berupa batuk kering atau berdahak yang lebih dari tiga minggu, dahak bercampur darah, nyeri dada saat batuk, demam lebih dari tiga minggu, hingga penurunan berat badan (Makeswaran et al., 2022; Xiao et al., 2022). Namun, terdapat kemungkinan LTBI untuk berkembang menjadi TB aktif dan



et al., 2022). Indurasi tersebut kemudian diukur diameternya secara melintang terhadap sumbu panjang lengan bawah dan dicatat dalam milimeter. Apabila hasil yang didapatkan berkisar 5-9 milimeter maka terdapat kemungkinan pasien tersebut positif TB. Jika hasil melebihi 10 milimeter maka menunjukkan adanya infeksi TB pada pasien. Adapun jika hasil yang didapat kurang dari 4 milimeter maka pasien dinyatakan negatif dan dilakukan pemeriksaan berulang dalam 1-3 minggu untuk memastikan tidak ada virus TB.

## 2. Kultur

Metode kultur merupakan *gold standart* dalam metode pendeteksian TB. Metode ini menggunakan sampel berupa dahak, urin, cairan serebrospinal (CSF), darah, atau jaringan lain yang terdapat kemungkinan infeksi pada organ selain paru-paru (Susilawati and Larasati, 2019). Pengambilan sampel berupa sputum atau dahak penderita kasus baru yang dinyatakan positif secara mikroskopis. Sampel tersebut dibiakan pada media *Lowenstein-Jensen* yang dilarutkan ke dalam zat-zat tertentu. Media *Lowenstein-Jensen* digunakan untuk mendiagnosis infeksi bakteri TB, dan membedakan perbedaan spesies pada *mycobacterium* dari segi morfologi, koloni, dan percepatan pertumbuhan. Pendeteksian TB menggunakan kultur memerlukan waktu yang relatif lama sekitar 4-8 minggu. Hasil deteksi pada kultur akan bernilai positif apabila terdapat pertumbuhan bakteri TB (Vongthilath-Moeung et al., 2021). Metode kultur dinilai lebih sensitif dan spesifik dibandingkan dengan *Sputum Smear Microscopy* namun relatif lebih mahal.

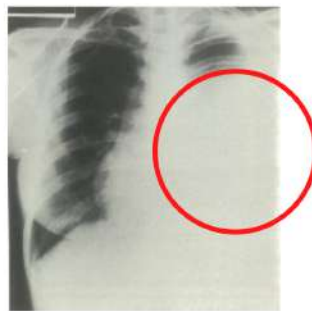
## 3. *Sputum Smear Microscopy*

Metode *sputum Smear Microscopy* atau dikenal sebagai tes Basil Tahan Asam (BTA) merupakan metode yang paling banyak digunakan dalam pendeteksian TB. Metode ini merupakan metode yang memiliki waktu deteksi yang cepat dan murah (Shuaib et al., 2018). Sama seperti kultur, metode *sputum Smear Microscopy* juga menggunakan *sputum* sebagai sampel. Sputum tersebut diambil dari batuk pertama pasien. Kemudian, laboratorium akan melakukan pemeriksaan terhadap sampel dahak. Sampel tersebut diletakkan pada wadah khusus dan diberi nutrisi dan pewarna. Pewarnaan ini menggunakan *Ziehl-Neelsen ZN* menggunakan mikroskop terang atau pewarnaan *auramine-rhodamin* menggunakan mikroskop fluoresensi (Behr et al., 2022). Bakteri yang tumbuh pada wadah akan dianalisis menggunakan mikroskop. Umumnya, hasil pada BTA menunjukkan warna merah dengan dikelilingi warna biru. BTA ini hampir selalu bernilai positif yang menunjukkan adanya bakteri walaupun belum tentu bakteri TB. Sehingga sensitivitas yang dihasilkan metode ini terbilang rendah bergantung pada sampel, pewarnaan yang digunakan hingga pengalaman ahli medis.

#### 4. Rontgen thorax

Rontgen thorax dilakukan menggunakan *x-ray* untuk mendiagnosis TB pada paru-paru, rongga dada, termasuk saluran udara, tulang rusuk, paru-paru, jantung, dan diafragma. Metode tersebut bekerja dengan mengambil gambar pada area dada (Basem Abbas Al, 2018). Gambaran radiologis dari TB aktif adalah adanya kekeruhan paru-paru akibat bayangan putih yang tidak homogen yang disebut kompleks ghon, terbentuknya kavitas yaitu kantung abnormal di sekitar paru-paru, dan terdapat cairan abnormal pada pleura

(efusi pleura) (Oladimeji et al., 2022). Ciri-ciri deteksi penderita TB melalui rontgen thorax dapat dilihat pada Gambar 2.2. WHO merekomendasikan rontgen thorax sebagai alat diagnostik deteksi TB dibanding metode diagnostik lain. Hal ini dikarenakan rontgen thorax dapat mengetahui kondisi asli struktur dalam paru. Di sisi lain, alat ini memiliki waktu deteksi yang cepat dan sensitivitas yang tinggi (Rastoder et al., 2019).



**Gambar 2.2 Efusi Pleura pada Penderita TB**

Beberapa hal yang dapat meningkatkan risiko TB diantaranya kontak erat dengan penderita TB, faktor risiko sosial seperti berkerumun dengan penderita TB, merokok, alkohol, dan polusi udara dalam ruangan (Diriba and Awulachew, 2022). Untuk melakukan pencegahan penyakit TB, beberapa cara yang bisa dilakukan adalah melakukan imunisasi BCG pada bayi umur 3-14 bulan, perbanyak ventilasi ruangan agar kuman tidak mudah menyebar, dan menutup mulut menggunakan masker.

### **2.3. Citra Digital**

Citra merupakan representasi visual gambar yang berupa dua dimensi maupun tiga dimensi yang mengandung informasi tertentu. Informasi tersebut









menjadi sebuah ciri yang dimiliki objek yang membedakan dengan objek lainnya. Bentuk ciri tersebut dapat berupa warna, tekstur, ataupun bentuk (Zhou et al., 2022). Pengolahan citra digital terdiri dari dua tahapan sebagai berikut.

#### 2.4.1. Tahap *preprocessing*

*Preprocessing* merupakan tahapan yang ditujukan untuk mengoptimalkan kualitas citra. *Preprocessing* merupakan tahapan penting untuk memproses sebuah citra menjadi lebih bersih sehingga kualitas citra meningkat dan pengolahan yang akan lebih baik (Maharana et al., 2022; Caseneuve et al., 2021). Tahap ini menjadikan citra lebih efektif dan memudahkan pembelajaran mesin. Selain itu, adanya *preprocessing* berpengaruh pada peningkatan keakuratan *Artificial Intelligence* (AI). Beberapa cara yang dapat dilakukan dalam tahap *preprocessing* diantaranya *histogram equalization*, *contrast stretching*, dan *grayscale* (Salvi et al., 2021). Adapun metode *preprocessing* yang digunakan pada penelitian ini adalah *grayscale*, *Contrast Limited Adaptive Histogram Equalization* (CLAHE), dan *median filter*.

#### 2.4.2. Analisis citra

Analisis citra merupakan teknik untuk mendapatkan informasi dari sebuah citra. Analisis ini mengandalkan kemampuan komputer untuk pengenalan pola atau objek dalam citra. Beberapa cara yang dapat dilakukan dalam analisis citra adalah pendeteksi tepi, tekstur, dan fitur lain yang memuat informasi (Fernandes et al., 2020). Analisis ini memiliki banyak metode, salah satunya *Gray Level Co-occurrence Matrix* (GLCM).

## 2.5. Grayscale

*Grayscale* adalah pengurangan nilai piksel dengan mempertahankan informasi yang cukup untuk mengidentifikasi suatu *image* (Hapsari et al., 2022). Proses ini dilakukan dengan mengkonversi citra RGB *x-ray* menjadi citra *grayscale*. Tujuan *grayscale* ini dilakukan untuk menyederhanakan model citra. Adapun rumus *grayscale* dapat dilihat pada Persamaan 2.2. Intensitas dari citra *grayscale* berupa 8 bit integer dengan range level 0 hingga 255.

## 2.6. Contrast Limited Adaptive Histogram Equalization (CLAHE)

*Contrast Limited Adaptive Histogram Equalization* (CLAHE) merupakan metode peningkatan citra berbasis AHE (*Adaptive Histogram Equalization*) Manju et al. (2019). Algoritma ini ditujukan untuk melakukan pemerataan kontras pada bagian kecil dari sebuah citra *grayscale* yang disebut *tile* Kuran and Kuran (2021). CLAHE bekerja dengan memotong histogram pada nilai tertentu berdasarkan komponennya. Komponen tersebut berupa *clip limit* dan ukuran area blok *tile*. *Clip limit* adalah batas kontras dengan mendistribusikan nilai piksel tinggi ke nilai di bawah *clip limit*. Komponen *clip limit* memiliki range 0 hingga 1. Penelitian (Hana and Maulida, 2021) menunjukkan nilai optimal yang dapat digunakan sebagai *clip limit* memiliki rentang nilai 0,1 hingga 0,2. Adapun komponen ukuran blok *tile* memiliki ukuran yang optimal bergantung pada input. Kedua komponen tersebut berfungsi untuk mengontrol kualitas gambar agar menghasilkan citra *grayscale* yang baik. Selain itu, terdapat kemiringan maksimum yang berguna untuk membatasi peregangan kontras dalam proses pemerataan histogram.

































- 2.27

$$W_{d,n} = \begin{bmatrix} w_1 & \dots & w_n \\ \vdots & \ddots & \vdots \\ w_d & \dots & w_{d,n} \end{bmatrix}_{d \times n} \quad (2.26)$$

$$b = \begin{bmatrix} b_1 & b_2 & \dots & b_n \end{bmatrix}_{n \times 1} \quad (2.27)$$

Dimana,

 $W$  : bobot input $b$  : bias

- (c) Hitung nilai matriks keluaran *hidden layer* menggunakan fungsi aktivasi sigmoid.

$$H = \begin{bmatrix} sig(x_1 w_1 + b_1) & \dots & sig(x_d w_n + b_1) \\ \vdots & \ddots & \vdots \\ sig(x_d w_m + b_n) & \dots & sig(x_{m,d} w_{d,n} + b_n) \end{bmatrix}_{m \times n} \quad (2.28)$$

dimana,

$$sig = \frac{1}{1 + e^{-h}} \quad (2.29)$$

dengan  $h : xw + b$  $sig$  : Fungsi aktivasi sigmoid $H$  : Output *hidden layer*

- (d) Menghitung bobot  $\beta$ . Bobot  $\beta$  adalah bobot *output* yang dihasilkan







## BAB III

### METODE PENELITIAN

#### 3.1. Jenis Penelitian

Jenis penelitian ini adalah penelitian kuantitatif. Penelitian ini menggunakan data berupa citra *x-ray* tuberkulosis yang diubah menjadi data numerik. Oleh karena itu, penelitian ini memuat analisis hasil berdasarkan perhitungan yang dilakukan.

#### 3.2. Jenis dan Sumber Data

Dalam penelitian ini, data yang digunakan adalah data citra *x-ray* paru-paru normal dan citra *x-ray* tuberkulosis. Data tersebut diperoleh dari (Jaeger et al., 2014; Candemir et al., 2014) yang berjumlah 662 data yang terdiri dari dua kelas. Kelas pertama yaitu kelas *x-ray* paru-paru normal sebanyak 326 data dan kelas kedua yaitu *x-ray* tuberkulosis sebanyak 336 data. Masing-masing data memiliki ukuran piksel sebesar  $3000 \times 3000$ .

#### 3.3. Pengolahan Data

Langkah-langkah penelitian ini dijelaskan dalam diagram alir pada Gambar 3.1 yang ditujukan untuk menggambarkan setiap proses yang terjadi dalam penelitian. Penelitian ini melalui tiga tahapan yaitu *preprocessing*, ekstraksi fitur, dan klasifikasi.

##### 1. Pengumpulan data dan *preprocessing*

Pengolahan data diawali dengan pengumpulan data yang akan diteliti. Data

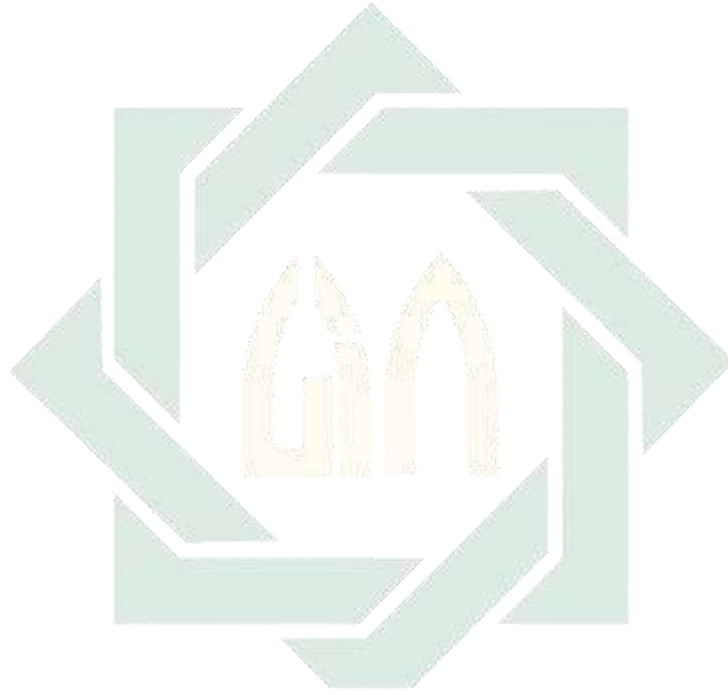






data *testing* dengan bobot dan bias yang telah diinisialisasi di proses *training*. Perhitungan ini menggunakan Persamaan [2.28](#) - [2.29](#).

iii. Hitung keluaran pada *output layer* menggunakan Persamaan [2.32](#).



UIN SUNAN AMPEL  
S U R A B A Y A

## BAB IV

### HASIL DAN PEMBAHASAN

#### 4.1. *Preprocessing Citra*

Pada *preprocessing citra*, data yang digunakan berupa citra *x-ray* yang diambil dari (Jaeger et al., 2014; Candemir et al., 2014). Data ini terdiri dari 326 data paru-paru normal dan 336 data tuberkulosis dengan total data sebanyak 662. Masing-masing data tersebut mengandung piksel yang berukuran  $3000 \times 3000$ . Sampel data yang digunakan dapat dilihat pada Gambar 4.1 dan 4.2.



Gambar 4.1 Kelas Normal (a) Sampel 1 (b) Sampel 2 (c) Sampel 3



Gambar 4.2 Kelas Tuberkulosis (a) Sampel 1 (b) Sampel 2 (c) Sampel 3

Setiap data pada penelitian ini mengandung matriks piksel dengan range 0







































**Tabel 4.4 Fitur GLCM pada Sudut 45°**

Citra ke-	Kontras	Energi	Korelasi	Entropi	Kelas
1	0,1537	0,1390	0,9508	0,0001	Normal
2	0,1527	0,1408	0,9515	0,0001	Normal
3	0,1551	0,1418	0,9551	0,0001	Normal
⋮	⋮	⋮	⋮	⋮	⋮
662	0,1658	0,1311	0,9238	0,0001	TB

**Tabel 4.5 Fitur GLCM pada Sudut 90°**

Citra ke-	Kontras	Energi	Korelasi	Entropi	Kelas
1	0,1023	0,1493	0,9508	0,0001	Normal
2	0,1010	0,1509	0,9515	0,0001	Normal
3	0,1046	0,1512	0,9551	0,0001	Normal
⋮	⋮	⋮	⋮	⋮	⋮
662	0,1188	0,1416	0,9432	0,0001	TB

**Tabel 4.6 Fitur GLCM pada Sudut 135°**

Citra ke-	Kontras	Energi	Korelasi	Entropi	Kelas
1	0,1023	0,1493	0,9508	0,0001	Normal
2	0,1010	0,1509	0,9515	0,0001	Normal
3	0,1046	0,1512	0,9551	0,0001	Normal
⋮	⋮	⋮	⋮	⋮	⋮
662	0,1188	0,1416	0,9432	0,0001	TB

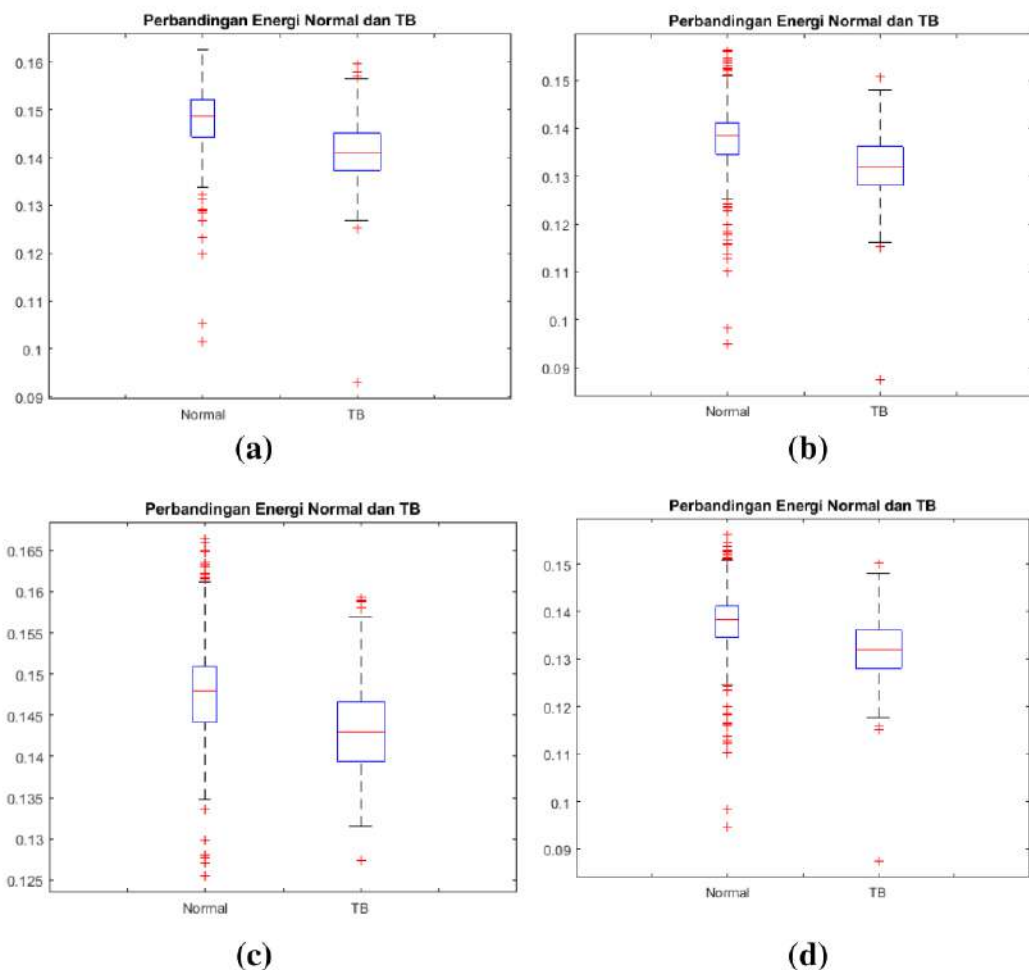








menunjukkan sebaran nilai minimum sebesar 0,0907, nilai tengah sebesar 0,1115, dan nilai maks sebesar 0,4855. Adapun pada kelas TB, sebaran nilai minimum sebesar 0,0924, nilai tengah sebesar 0,1339, dan nilai maks sebesar 0,5241. Dari nilai tersebut dapat disimpulkan bahwa nilai fitur kontras pada kelas normal dan TB saling beririsan. Hal tersebut juga berlaku pada fitur kontras pada sudut  $45^\circ$ ,  $90^\circ$ ,  $135^\circ$



**Gambar 4.14** Visualisasi Fitur Energi GLCM dengan sudut (a)  $0^\circ$ , (b)  $45^\circ$ , (c)  $90^\circ$ , (d)  $135^\circ$

Dari *boxplot* pada Gambar [4.14](#) (a), fitur energi pada kelas normal dengan sudut  $0^\circ$  menunjukkan sebaran nilai minimum sebesar 0,1013, nilai tengah sebesar





0,00088. Dari nilai tersebut dapat disimpulkan bahwa nilai fitur energi pada kelas normal dan TB saling beririsan. Hal tersebut juga berlaku pada fitur kontras pada sudut  $45^\circ$ ,  $90^\circ$ ,  $135^\circ$ .

Berdasarkan boxplot 4.13 - 4.16, hasil setiap nilai fitur yang telah dihitung menunjukkan bahwa seluruh fitur dari kelas normal beririsan dengan kelas TB. Selain itu, nilai fitur rata-rata GLCM pada data normal dan data TB memiliki nilai berdekatan. Sehingga data ini tidak dapat diklasifikasikan secara langsung karena karakteristik data yang beririsan. Oleh karena itu, perlu adanya metode yang dapat mempelajari karakteristik yang beririsan dari masing-masing kelas seperti *neural network*.

#### 4.3. Klasifikasi menggunakan *Extreme Learning Machine* (ELM)

Metode yang digunakan dalam klasifikasi ini adalah *Extreme Learning Machine* (ELM). Metode ini memiliki kinerja komputasi yang relatif cepat dan mampu memberikan generalisasi yang baik. Untuk melakukan klasifikasi menggunakan metode ini, Langkah-langkah proses *training* dan *testing* pada ELM adalah sebagai berikut.

1. Proses pembagian data berdasarkan data *training* dan data *testing*.

Pada penelitian ini, data yang digunakan sebagai perhitungan manual didapat dari fitur pada tabel 4.3. Jumlah data yang digunakan sebanyak 662 data. Data tersebut dilakukan proses pembagian data ke data *training* dan data *testing* menggunakan metode *k-fold cross validation* dengan partisi *k* yang digunakan sebesar 5 dan 10. Hasil dari nilai *k* kemudian dibandingkan untuk dicari nilai *k* yang paling optimal.

Proses perhitungan manual pada klasifikasi ini menggunakan *fold* dengan

























72,87 dan waktu komputasi rata-rata yakni 1,81 detik. Hasil percobaan terbaik didapatkan oleh model uji coba dengan *k-fold* 10 dan *node hidden* 25 dengan akurasi sebesar 81,81%, sensitivitas 87,5%, dan spesitivitas mencapai 76,47%. Untuk mendapatkan model tersebut, waktu yang diperlukan adalah 1,74 detik. Hal ini menunjukkan bahwa sistem mampu mengklasifikasikan TB dengan cepat. Sistem memiliki sensitivitas yang sangat baik sehingga dapat mengklasifikasikan pasien yang terdeteksi TB secara dini. Namun, sistem ini kurang bisa mengenali pasien yang terindikasi normal, sehingga terdapat kemungkinan salah deteksi pada pasien normal.

(d) Hasil Klasifikasi TB menggunakan GLCM Sudut  $135^\circ$

Hasil uji coba klasifikasi TB menggunakan uji coba sudut  $135^\circ$  pada Tabel berikut.

UIN SUNAN AMPEL  
S U R A B A Y A

Tabel 4.12 Hasil Klasifikasi TB menggunakan GLCM 135°

Sudut GLCM	<i>k-fold</i>	<i>node hidden</i>	Akurasi	Sensitivitas	Spesifisitas	Waktu (s)
135	5	5	75,75	83,07	68,65	1,81
		25	79,54	92,3	67,16	1,84
		50	78,46	88,88	68,65	1,6
		75	77,86	87,50	68,65	1,52
		100	75,78	85,24	67,16	1,52
	10	5	83,33	90,62	76,47	1,73
		25	84,48	93,75	76,47	1,95
		50	83,07	90,32	76,47	1,97
		75	83,07	90,32	76,47	1,82
		100	83,07	90,32	76,47	1,85
Rata-rata			72,69	89,23	72,26	1,78

Uji coba menggunakan sudut GLCM sebesar 135° memiliki hasil akurasi rata-rata sebesar 72,69, sensitivitas 89,23, dan spesifisitas 72,26 dan waktu komputasi rata-rata yakni 1,78 detik. Hasil percobaan terbaik didapatkan oleh model uji coba dengan *k-fold* 10 dan *node hidden* 25 dengan akurasi sebesar 81,81%, sensitivitas 87,5%, dan spesifisitas mencapai 76,47%. Untuk mendapatkan model tersebut, waktu yang diperlukan adalah 1,74 detik. Hal ini menunjukkan bahwa sistem mampu mengklasifikasikan TB dengan cepat. Sistem memiliki sensitivitas yang sangat baik sehingga dapat mengklasifikasikan pasien yang terdeteksi TB secara dini. Namun, sistem ini kurang bisa





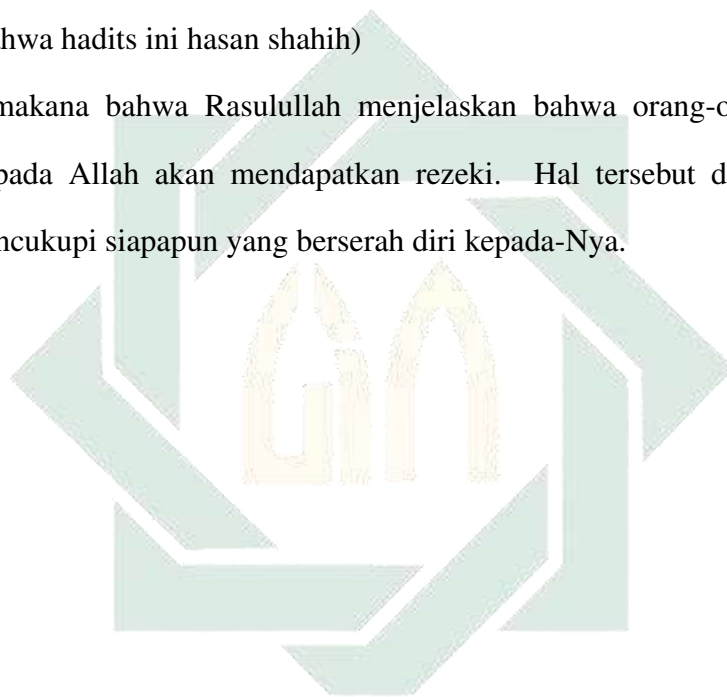






artinya: Sungguh seandainya kalian bertawakal kepada Allah dengan sebenar-benar tawakal, niscaya kalian akan diberi rezeki sebagaimana rezekinya burung-burung. Mereka berangkat pagi hari dalam keadaan lapar, dan pulang sore hari dalam keadaan kenyang. (HR. Tirmidzi no. 2344. Abu 'Isa Tirmidzi mengatakan bahwa hadits ini hasan shahih)

Hadis ini bermakna bahwa Rasulullah menjelaskan bahwa orang-orang yang bertawakal kepada Allah akan mendapatkan rezeki. Hal tersebut dikarenakan Allah akan mencukupi siapapun yang berserah diri kepada-Nya.



UIN SUNAN AMPEL  
S U R A B A Y A

## BAB V

### PENUTUP

#### 5.1. Kesimpulan

Terdapat beberapa poin kesimpulan yang ada pada penelitian klasifikasi penyakit tuberkulosis menggunakan ekstraksi fitur GLCM dan ELM, diantaranya:

1. Ekstraksi fitur pada GLCM menghasilkan 4 fitur berupa kontras, korelasi, energi, dan entropi. Hasil dari fitur ini menunjukkan bahwa karakteristik citra pada kelas normal cenderung bertekstur halus dibandingkan dengan citra pada kelas TB.
2. ELM merupakan metode yang mampu mengklasifikasikan penyakit TB dengan baik dan cepat. Hal ini ditunjukkan oleh model terbaik dengan uji coba orientasi sudut ( $\theta$ )  $0^\circ$ , *10-fold*, dan *node hidden* 50. Model ini menghasilkan akurasi, sensitivitas, dan spesifisitas yang sangat baik yakni masing-masing 100%. Selain itu, waktu komputasi yang sangat cepat yakni 1,64 detik. Pada kasus ini, dapat dibuktikan bahwa sudut  $0^\circ$  berpengaruh signifikan terhadap hasil kinerja model karena menggunakan hubungan dua piksel yang bertetangga secara horizontal dengan jarak 1. Pada sudut  $0^\circ$ , *10-fold* dan semakin besar jumlah hidden node memiliki hasil model yang sama dengan kecenderungan waktu komputasi yang makin cepat. Namun pada sudut lain, nilai *10-fold* dan jumlah *node hidden* menunjukkan bahwa semakin besar jumlah yang digunakan maka akurasi, sensitivitas, dan spesivisitas semakin optimal.

## 5.2. Saran

Masih terdapat beberapa kekurangan penelitian ini terkait klasifikasi penyakit tuberkulosis menggunakan ekstraksi fitur GLCM dan ELM. Oleh karena itu terdapat beberapa saran yang diajukan untuk penelitian mendatang, yakni:

1. Data yang digunakan pada penelitian ini hanya sebanyak 662 data yang terdiri dari 326 data citra *x-ray* normal dan 336 data citra *x-ray* TB. Hal ini dapat berpengaruh pada kinerja pembelajaran karena data yang digunakan cenderung sedikit. Oleh karena itu, diharapkan penelitian selanjutnya dapat meneliti kasus TB dengan data yang lebih besar dan cakupan yang lebih luas.
2. Pada tahapan ekstraksi fitur, perlu adanya perbandingan dengan metode lain seperti *Grey Level Run Length Matrix* (GLRLM), dan *Gray Level Dependence Matrix* (GLDM) untuk mendapatkan karakteristik fitur yang lebih baik.
3. Pada klasifikasi, perlu adanya analisis menggunakan pengembangan metode dari ELM, seperti *Kernel Extreme Learning Machine* (KELM) dan *Deep Extreme Learning Machine* (DELIM) sebagai keterbaruan metode dan hasil yang lebih maksimal.

## DAFTAR PUSTAKA

- Ahemad, M. T., Hameed, M. A., and Vankdothu, R. (2022). COVID-19 detection and classification for machine learning methods using human genomic data. *Measurement: Sensors*, 24(July):100537.
- Alazawi, S. A., Shati, N. M., and Abbas, A. H. (2019). Texture features extraction based on GLCM for face retrieval system. *Periodicals of Engineering and Natural Sciences*, 7(3):1459–1467.
- Andrabi, A. A. (2022). Islamic Perspective of Plagues and Pandemics. *International Journal of Humanities Social Sciences and Education*, 9(4):41–50.
- Arifin, A., Muslimin, J. M., and Munawar, W. (2021). Living Hadith , Precedent Theory and Health Quarantine : Studies on Maslahah Mursalah , Sadd Al-Dzariah And Ta’ Un In The Prophetic Tradition. *Ar-Raniry International Journal of Islamic Studies*, 8(2):167–186.
- Azad, M., Hasan, M., and K, M. (2017). Color Image Processing in Digital Image. *International Journal of New Technology and Research*, 3(3):263334.
- Bakheet, S. and Al-Hamadi, A. (2021). Automatic detection of COVID-19 using pruned GLCM-Based texture features and LDCRF classification. *Computers in Biology and Medicine*, 137(August):104781.
- Baron, G. and Stanczyk, U. (2021). Standard vs. non-standard cross-validation: Evaluation of performance in a space with structured distribution of datapoints. *Procedia Computer Science*, 192:1245–1254.

- Basem Abbas Al, U. (2018). The Radiological Diagnosis of Pulmonary Tuberculosis (TB) in Primary Care. *Journal of Family Medicine and Disease Prevention*, 4(1):1–7.
- Behr, M. A., Lapierre, S. G., Kunimoto, D. Y., Lee, R. S., Long, R., Sekirov, I., Soualhine, H., and Turenne, C. Y. (2022). Chapter 3: Diagnosis of tuberculosis disease and drug-resistant tuberculosis. *Canadian Journal of Respiratory, Critical Care, and Sleep Medicine*, 6(S1):33–48.
- Campbell, J. R., Pease, C., Daley, P., Pai, M., and Menzies, D. (2022). Diagnosis of tuberculosis infection. *Canadian Journal of Respiratory, Critical Care, and Sleep Medicine*, 6(S1):49–65.
- Candemir, S., Jaeger, S., Palaniappan, K., Musco, J. P., Singh, R. K., Xue, Z., Karargyris, A., Antani, S., Thoma, G., and McDonald, C. J. (2014). Lung segmentation in chest radiographs using anatomical atlases with nonrigid registration. *IEEE Transactions on Medical Imaging*, 33(2):577–590.
- Caseneuve, G., Valova, I., LeBlanc, N., and Thibodeau, M. (2021). Chest X-Ray image preprocessing for disease classification. *Procedia Computer Science*, 192:658–665.
- Chegni, A. M., Ghavami, B., and Eftekhari, M. (2022). A GPU-based accelerated ELM and deep-ELM training algorithms for traditional and deep neural networks classifiers. *Intelligent Systems with Applications*, 15(July):200098.
- Chekouo, T., Mohammed, S., and Rao, A. (2020). A Bayesian 2D functional linear model for gray-level co-occurrence matrices in texture analysis of lower grade gliomas. *NeuroImage: Clinical*, 28(August):102437.

- Diriba, K. and Awulachew, E. (2022). Associated risk factor of tuberculosis infection among adult patients in Gedeo Zone, Southern Ethiopia. *SAGE Open Medicine*, 10:205031212210867.
- Efendi, M., Masriyah, M., and Riadi, S. (2020). Islamic Contribution in the Covid-19 Pandemic Viewed From History. *Abjadia*, 5(2):157–165.
- Fernandes, A. F. A., Dórea, J. R. R., and Rosa, G. J. d. M. (2020). Image Analysis and Computer Vision Applications in Animal Sciences: An Overview. *Frontiers in Veterinary Science*, 7(October):1–18.
- Foeady, A. Z., Rini Novitasari, D. C., Asyhar, A. H., and Firmansjah, M. (2018). Automated Diagnosis System of Diabetic Retinopathy Using GLCM Method and SVM Classifier. *Proceeding of the Electrical Engineering Computer Science and Informatics*, 5(5).
- Gan, H., Liu, G., Shi, C., Tang, R., Xiong, Y., Liu, Y., and Liu, H. (2021). Comparison of three artificial neural networks for predict the electrodeposition of nano-silver film. *Materials Today Communications*, 26(December 2020):101950.
- Gill, C. M., Dolan, L., Piggott, L. M., and McLaughlin, A. M. (2022). New developments in tuberculosis diagnosis and treatment. *Breathe*, 18(1):1–15.
- Guo, L., Wang, W., Zhong, L., Guo, L., Zhang, F., and Guo, Y. (2022). Texture analysis of the microstructure of internal curing concrete based on image recognition technology. *Case Studies in Construction Materials*, 17(July):e01360.
- Hana, F. M. and Maulida, I. D. (2021). Analysis of contrast limited

- adaptive histogram equalization (CLAHE) parameters on finger knuckle print identification. *Journal of Physics: Conference Series*, 1764(1).
- Hapsari, R. K., Miswanto, M., Rulaningtyas, R., Suprajitno, H., and Seng, G. H. (2022). Modified Gray-Level Haralick Texture Features for Early Detection of Diabetes Mellitus and High Cholesterol with Iris Image. *International Journal of Biomedical Imaging*, 2022.
- Hashmi, A. S. and Ahmad, T. (2022). GP-ELM-RNN: Garson-pruned extreme learning machine based replicator neural network for anomaly detection. *Journal of King Saud University - Computer and Information Sciences*, 34(5):1768–1774.
- He, C., Guo, K., and Chen, H. (2021). An improved image filtering algorithm for mixed noise. *Applied Sciences (Switzerland)*, 11(21):1–25.
- Henriksen, E. L., Carlsen, J. F., Vejborg, I. M., Nielsen, M. B., and Lauridsen, C. A. (2019). The efficacy of using computer-aided detection (CAD) for detection of breast cancer in mammography screening: a systematic review. *Acta Radiologica*, 60(1):13–18.
- Highsmith, H. Y., Starke, J. R., and Mandalakas, A. M. (2019). Tuberculosis. *Kendig's Disorders of the Respiratory Tract in Children*, pages 475–497.e5.
- Huang, Y., Ai, L., Wang, X., Sun, Z., and Wang, F. (2022). Review and Updates on the Diagnosis of Tuberculosis. *Journal of clinical medicine*, 11(19).
- Hussien, R. M., Al-Jubouri, K. Q., Gburi, M. A., Hussein Qahtan, A. G., and Duaa Jaafar, A. H. (2021). Computer Vision and Image Processing the Challenges and Opportunities for new technologies approach: A paper review. *Journal of Physics: Conference Series*, 1973(1):0–8.

- Ismail, N., Othman, Z. A., and Samsudin, N. A. (2019). Regularization activation function for Extreme Learning Machine. *International Journal of Advanced Computer Science and Applications*, 10(3):241–248.
- Jaeger, S., Karargyris, A., Candemir, S., Folio, L., Siegelman, J., Callaghan, F., Palaniappan, K., Singh, R. K., Antani, S., Thoma, G., Wang, Y.-x., Lu, P.-x., and McDonald, C. J. (2014). Automatic tuberculosis screening using chest radiographs. *IEEE Transactions on Medical Imaging*, 33:1–13.
- Jia, J., Chen, D., Liu, L., Siddiqui, M. J., Yang, F., Zhu, Y., Liao, Q., Luo, S., Shu, M., Wen, Y., Gao, L., Li, X., Long, L., Peng, X., Li, W., Liu, Y., Xu, W., Han, Q., Wu, H., Guo, J., Du, X., Guo, Q., and Wan, C. (2022). Prevalence of Latent Tuberculosis Infection among Healthy Young Children and Adolescents and a Two-step Approach for the Diagnosis of Tuberculosis Infection in Chengdu, China. *Pediatric Infectious Disease Journal*, 41(1):6–11.
- Kulmaganbetov, M., Bevan, R. J., Anantrasirichai, N., Achim, A., Erchova, I., White, N., Albon, J., and Morgan, J. E. (2022). Textural Feature Analysis of Optical Coherence Tomography Phantoms. *Electronics (Switzerland)*, 11(4).
- Kuran, U. and Kuran, E. C. (2021). Parameter selection for CLAHE using multi-objective cuckoo search algorithm for image contrast enhancement. *Intelligent Systems with Applications*, 12:200051.
- Luies, L. and du Preez, I. (2020). The echo of pulmonary tuberculosis: Mechanisms of clinical symptoms and other disease-induced systemic complications. *Clinical Microbiology Reviews*, 33(4):1–19.
- Mahaiyadin, M. H., Samori, Z., Subri, I. M., Suhaimi, R., and Radzi, H. M. (2022). Evaluating the Preventive Measures Vis-a-Vis COVID-19 Pandemic Outbreak

- Via Siyāsah Syar‘Iyyah (Islamic Public Policy). *International Journal of Asian Social Science*, 12(9):336–346.
- Maharana, K., Mondal, S., and Nemade, B. (2022). A review: Data pre-processing and data augmentation techniques. *Global Transitions Proceedings*, 3(1):91–99.
- Maison, D. P. (2022). Tuberculosis pathophysiology and anti-VEGF intervention. *Journal of Clinical Tuberculosis and Other Mycobacterial Diseases*, 27(January):100300.
- Makeswaran, P., Shah, S. A., Safian, N., Muhamad, N. A., and Harith, A. A. (2022). Determinants of delayed tuberculosis treatment among patients in Selangor: A study protocol. *PLoS ONE*, 17(4 April):1–11.
- Manju, R. A., Koshy, G., and Simon, P. (2019). Improved Method for Enhancing Dark Images based on CLAHE and Morphological Reconstruction. *Procedia Computer Science*, 165(2019):391–398.
- Mehfooz, M. (2021). Understanding the impact of plague epidemics on the muslim mind during the early medieval period. *Religions*, 12(10).
- Migliori, G. B., Falzon, D., Marks, G. B., Goletti, D., Kasaeva, T., Esposito, S., and Humbert, M. (2022). Commemorating World Tuberculosis Day 2022: recent ERJ articles of critical relevance to ending TB and saving lives. *European Respiratory Journal*, 59(2200149).
- Mohammed Kanan, A., Ali Elbeleze, A., and Abubaker, A. (2019). Applications of the Moore-Penrose Generalized Inverse to Linear Systems of Algebraic Equations. *American Journal of Applied Mathematics*, 7(6):152.

- Nixon, M. S. and Aguado, A. S. (2020). *Feature Extraction and Image Processing for Computer Vision: Introduction*. Academic Press.
- Noviyani, A., Nopsopon, T., and Pongpirul, K. (2021). Variation of tuberculosis prevalence across diagnostic approaches and geographical areas of Indonesia. *PLoS ONE*, 16(10 October):1–12.
- Nsubuga, R., Adrawa, N., Okoboi, S., Komuhangi, A., and Izudi, J. (2022). Complete sputum smear monitoring among adults with pulmonary tuberculosis in central Uganda: evidence from a retrospective cohort study. *BMC Infectious Diseases*, 22(1):1–9.
- Oladimeji, O., Adeniji-Sofoluwe, A. T., Othman, Y., Adepoju, V. A., Oladimeji, K. E., Atiba, B. P., Anyiam, F. E., Odugbemi, B. A., Afolaranmi, T., and Zoakah, A. I. (2022). Chest X-ray Features in Drug-Resistant Tuberculosis Patients in Nigeria; a Retrospective Record Review. *Medicines*, 9(9):46.
- Ossai, C. I. and Wickramasinghe, N. (2022). GLCM and statistical features extraction technique with Extra-Tree Classifier in Macular Oedema risk diagnosis. *Biomedical Signal Processing and Control*, 73.
- Ozturk, S. and Akdemir, B. (2018). Application of Feature Extraction and Classification Methods for Histopathological Image using GLCM, LBP, LBGLCM, GLRLM and SFTA. *Procedia Computer Science*, 132(Iccids):40–46.
- P., R. K. and C., N. N. (2019). An Optimal Data Preparation and Feature Extraction Methodology for Classification Algorithms. *Turkish Online Journal of Qualitative Inquiry (TOJQI)*, 10(3):386–405.
- Park, Y. and Guldman, J. M. (2020). Measuring continuous landscape patterns

with Gray-Level Co-Occurrence Matrix (GLCM) indices: An alternative to patch metrics? *Ecological Indicators*, 109(October 2019):105802.

Rasak, A., Zubair, A., Alo, O. A., and Zubair, A. R. (2019). Grey Level Co-occurrence Matrix (GLCM) Based Second Order Statistics for Image Texture Analysis Mathematical Analysis and Modelling of Electrical/Electronic Engineering Systems View project Image Processing View project Grey Level Co-occurrence Matrix (GLCM) Based Second Order Statistics for Image Texture Analysis. *International Journal of Science and Engineering Investigations*, 8(93):93.

Rastoder, E., Shaker, S. B., Naqibullah, M., Wille, M. M. W., Lund, M., Wilcke, J. T., Seersholm, N., and Jensen, S. G. (2019). Chest x-ray findings in tuberculosis patients identified by passive and active case finding: A retrospective study. *Journal of Clinical Tuberculosis and Other Mycobacterial Diseases*, 14(September 2012):26–30.

Rath, S. K., Sahu, M., Das, S. P., Bisoy, S. K., and Sain, M. (2022). A Comparative Analysis of SVM and ELM Classification on Software Reliability Prediction Model. *Electronics (Switzerland)*, 11(17).

Salvi, M., Acharya, U. R., Molinari, F., and Meiburger, K. M. (2021). The impact of pre- and post-image processing techniques on deep learning frameworks: A comprehensive review for digital pathology image analysis. *Computers in Biology and Medicine*, 128:104129.

Shah, A., Bangash, J. I., Khan, A. W., Ahmed, I., Khan, A., Khan, A., and Khan, A. (2022). Comparative analysis of median filter and its variants for removal

of impulse noise from gray scale images. *Journal of King Saud University - Computer and Information Sciences*, 34(3):505–519.

Shajia, S., Ronickom, J. F. A., Ramaniharan, A. K., and Ramakrishnan Swaminathan (2022). Study on the effect of extreme learning machine and its variants in differentiating Alzheimer conditions from selective regions of brain MR images. *Expert Systems with Applications*, 209.

Shuaib, Y. A., Khalil, E. A. G., Schaible, U. E., Wieler, L. H., Bakheit, M. A. M., Mohamed-Noor, S. E., Abdalla, M. A., Homolka, S., Andres, S., Hillemann, D., Lonroth, K., Richter, E., Niemann, S., and Kranzer, K. (2018). Smear Microscopy for Diagnosis of Pulmonary Tuberculosis in Eastern Sudan. *Tuberculosis Research and Treatment*, 2018:1–8.

Singh, P., Mukundan, R., and De Ryke, R. (2020). Feature Enhancement in Medical Ultrasound Videos Using Contrast-Limited Adaptive Histogram Equalization. *Journal of Digital Imaging*, 33(1):273–285.

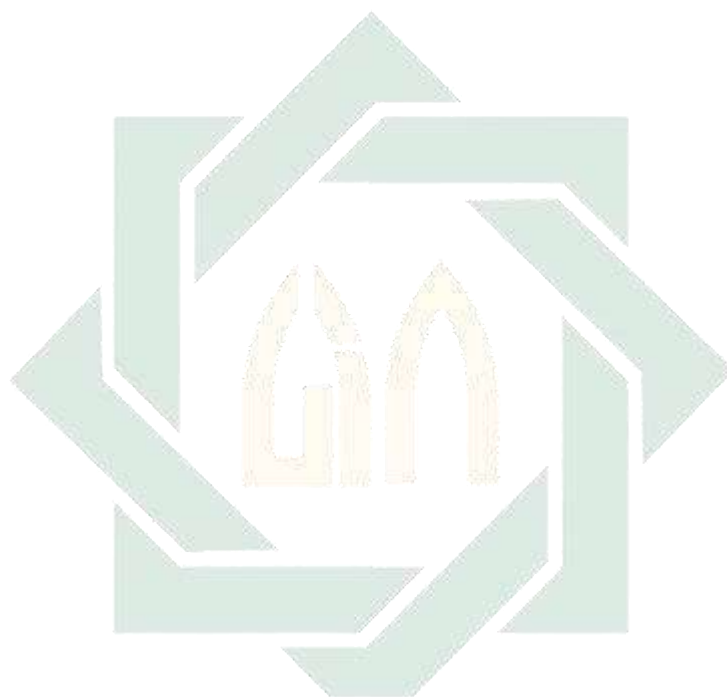
So-ngern, A., Mahakkanukrauh, A., Suwannaroj, S., Nanagara, R., and Foocharoen, C. (2022). Skin thickness affects the result of tuberculin skin test in systemic sclerosis. *BMC Rheumatology*, 6(1):1–9.

Stock, A. (2022). Spatiotemporal distribution of labeled data can bias the validation and selection of supervised learning algorithms: A marine remote sensing example. *ISPRS Journal of Photogrammetry and Remote Sensing*, 187(March):46–60.

Sun, C., Cao, S., and Li, Y. (2018). Mesomechanics coal experiment and an elastic-brittle damage model based on texture features. *International Journal of Mining Science and Technology*, 28(4):639–647.

- Susilawati, T. N. and Larasati, R. (2019). A recent update of the diagnostic methods for tuberculosis and their applicability in indonesia: A narrative review. *Medical Journal of Indonesia*, 28(3):284–291.
- Tyagi, V. (2018). *Understanding Digital Image Processing*. Number September. CRC Press.
- Vongthilath-Moeung, R., Poncet, A., Renzi, G., Schrenzel, J., and Janssens, J. P. (2021). Time to Detection of Growth for Mycobacterium tuberculosis in a Low Incidence Area. *Frontiers in Cellular and Infection Microbiology*, 11(August):1–8.
- Wojtyra, M., Pękal, M., and Frączek, J. (2020). Utilization of the Moore-Penrose inverse in the modeling of overconstrained mechanisms with frictionless and frictional joints. *Mechanism and Machine Theory*, 153.
- Wu, Q. and Vos, P. (2018). *Inference and Prediction*, volume 38. Elsevier B.V., 1 edition.
- Xiao, X., Chen, J., Jiang, Y., Li, P., Li, J., Lu, L., Zhao, Y., Tang, L., Zhang, T., Wu, Z., Rao, L., Yuan, Z., Pan, Q., and Shen, X. (2022). Prevalence of latent tuberculosis infection and incidence of active tuberculosis in school close contacts in Shanghai, China: Baseline and follow-up results of a prospective cohort study. *Frontiers in Cellular and Infection Microbiology*, 12(September):1–10.
- Zhao, Y. P., Tan, J. F., Wang, J. J., and Yang, Z. (2019). C-loss based extreme learning machine for estimating power of small-scale turbojet engine. *Aerospace Science and Technology*, 89(2):407–419.

Zhou, S., Zhang, G., and Li, J. (2022). Application of digital image processing technology in interferometer. *International Journal of Online Engineering*, 9(SPECIALISSUE.6):65–68.



UIN SUNAN AMPEL  
S U R A B A Y A